

III-18 走行荷重による舗装板内の応力と変位

東京大学工学部 正員 石原研而

今まで用いられてきた剛性舗装、柔軟性舗装の考え方とは、いずれも静的荷重条件から出発したものであり、荷重の動力学的影响は加味されていなかった。最近振動荷重と走行荷重を置きかえようとする試みが方々で行われているが、これは実際の現象を模擬化したもので、普段は慣性に欠けていると思われる。いずれの考え方によると、弾性論を使用しているのである、その限りにおいては、アスファルト舗装材料などの粘性的影響を考慮することは不可能である。実際、自動車の速度を上げて行くと、舗装板の挙がりが減りてくるという現象は、方々で観測されているが、弾性論では説明できない。この現象を説明するため、舗装板と路床と二層系の地盤とを考え、その上を半径 α の円形荷重が、速度 V で走った場合の、舗装板内の応力、表面変位、路床内の応力等を計算してみた。詳細は別に説明するとして、こゝでは大体の考え方と、結果の一部のみを記すことにする。

図1に示すように、表層を Burger 型の粘弹性体、下層を單なる弾性体とした場合の表層内の半径方向の歪 ϵ_1 は、次式で与えられる。(両層とも Burger 型の場合も容易に計算できる。)

$$\frac{\epsilon_1}{V_p} = \frac{1}{4} S \int_{0}^{\infty} \frac{J_1(sm)m}{1+c_0m^3} dm + \frac{S\mu_0 c_0}{2} \frac{c_0}{\tau_1} \int_{0}^{\infty} \frac{J_1(sm)m^2}{(1+c_0m^3)^2} dm \left[\frac{M\mu}{mV} - \frac{\left(\frac{M\mu}{mV}\right)^2}{\sqrt{1+\left(\frac{M\mu}{mV}\right)^2}} \right] dm \quad (1)$$

$$\text{ただし } \left\{ \begin{array}{l} \tau_1' = \frac{\mu_1'}{\nu_1}, \quad \tau_0 = \frac{\mu_1'}{\mu_1 + \nu_1}, \quad C_0 = \frac{\nu_1}{\nu_2} \\ C = \frac{\mu_1\nu_1}{\nu_2(\mu_1 + \nu_1)}, \quad M = \frac{1+c_0m^3}{1+c_0m^3} \frac{1}{\tau_0}, \quad S = \frac{a}{\alpha} \end{array} \right. \quad (1)$$

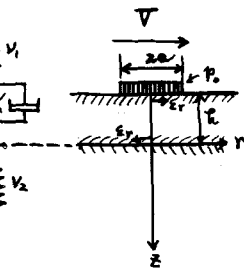


図1

又、 μ_1, ν_1, μ_1' などは9倍すれば一軸圧縮で測定した時の物質常数(弾性の場合にはヤング率)に等しくなる。又 $\nu_2 = \frac{2}{3} E_2$ とす。 E_2 は下層のヤング係数。

(1)式は上層を板、下層を半無限体と仮定し、更に地盤の inertial の影響は無視できることで計算してある。又上下層の材料は非圧縮性と考えていい。 ϵ_1 は載荷面直下の値であり、荷重が動きはじめてから、充分時間がたち、初期条件の影響が消えて、運動が走行状態になった時を表していい。次に V を相当大きいものとして、(1)式の第2項を $\frac{M\mu}{mV}$ べき級数に展開してみると次のようになる。

$$\frac{\epsilon_1}{V_p} = \frac{1}{4} S \int_{0}^{\infty} \frac{J_1(sm)m}{1+c_0m^3} dm + \frac{C_0}{8S} \frac{\mu}{\tau_1'} \frac{\mu}{\tau_0} \int_{0}^{\infty} \frac{(1+c_0m^3)m^2 J_1(sm)}{(1+c_0m^3)^3} dm \quad (2)$$

ただし、上式で $\frac{2\mu}{mV}$ なる量は時間の dimension を持ち、かつ静荷重載荷の時の載荷時間に equivalent なものを表してゐる。これを大とあらわす。又(2)式で μ 以上の項は微少であるから省略してある。従つて(2)式は $\frac{1}{\tau_1'} \ll 1, \frac{1}{\tau_0} \ll 1$ なう條件をみたすよくなれた範囲において、充分な精度を与えるものである。(2)から明らかなように、第1項が、 μ と ν_2 で決まる弾性解で、第2項が粘弹性の影響を表わす项である。 $V \rightarrow \infty \rightarrow \mu = 0$ と

なれば、上層の Burger 型の retarded element は変形しないから、 v_1 と v_2 が決まる弾性解が残るわけである。だが小さくなると（すなわち α が大きくなると）歪は段々と減り来る。

この歪の大きさを実測した結果が Road Test one-MD⁽¹⁾ といふアメリカの報告書にのりていたので、それを比較してみることにする。所が、所望の粘弹性とくわしく測つていなかった、正確な比較はできないが、大体のことと言へることはする。

実験は現物大で、砂質地盤上のコンクリート舗装に 2 輪軸のトラックを走らせて測つていい。使用コンクリートの粘弹性は、普通の静的試験と、Ultra-sonic 試験との両方のヤング率がのりでいたって、それをもとにして 0.1 sec. 位の time scale の遅延スペクトラムを並んで決定した。つまり 0 sec. から 80 sec. までの間に、無限に連なつていると見えられた strain response の中で、0.1 sec. 位の time scale で最も卓越していける response element をえらんで、これから Burger 型モデルを作る。ところが、この粘弹性常数の決定法に関する限りでは、別に發表することにして、こゝでは結果だけを述べる。こうよんじて作ったモデルの各値は次の如くである。

$$E_{10} = 9v_1 = 3.92 \times 10^5 \text{ kg/cm}^2, \quad E_1 = 9\mu_1 = 2.50 \times 10^6 \text{ kg/cm}^2, \quad E'_1 = 9\mu'_1 = 2.0 \times 10^5 \text{ kg/cm}^2 \cdot \text{sec}$$

$$E_2 = \frac{3}{2}v_2 = 6.00 \times 10^3 \text{ kg/cm}^2.$$

E_2 の値は CBR-値が与えられていたので、これから堆積した動的ヤング係数である。また 0.1 sec. 位の載荷時間で現れたヤング率である。

One-MD の実験では、車輪の進行方向に、舗装板の表面に、ストレインゲージをはり、その上で車を走らせて実験しているので、丁度上述の E_2 の値を測つていいことになると思われる。そして実験の結果は 3 m.p.e. の時の E_2 を基準として、次式で与えられる量で整理している。

$$R = \frac{\left[\frac{E_2}{E_2} \right]_{3 \text{ m.p.e.}} - \left[\frac{E_2}{E_2} \right]_{V=V_{\text{max}}}}{\left[\frac{E_2}{E_2} \right]_{V=3 \text{ m.p.e.}}} \quad \dots (3)$$

我々の理論式を數値積分し、各常数をあてはめて、 R の式を作ると次のようになる。

$$\begin{array}{l|l} 18,000 \text{ kg の單一車荷重}, & 32,000 \text{ kg の 4 ナンバー車荷重} \\ (\alpha = 12.5 \text{ cm.}) & (\alpha = 11.9 \text{ cm.}) \\ S = 0.72 & S = 0.68 \end{array}$$

$$R = 0.170 - 0.890 \times \frac{t^2}{0.035}, \quad R = 0.155 - 0.984 \times \frac{t^2}{0.035} \quad \dots (4)$$

(4) 式をグラフにして、One-MD の実験結果と比較したのが、図 2、および図 3 である。速が小さい時に誤差が大きいのは、(1) 式をもつて、次の展開式を使つたためである。

(1). 竹下、岩浦著、「道路舗装の設計」P.250 に紹介されてる。

